COMPACTIFICATION DES VARIÉTÉS DE DELIGNE-LUSZTIG

C. BONNAFÉ & R. ROUQUIER

RÉSUMÉ. Nous construisons explicitement la normalisation de la compactification de Bott-Samelson-Demazure-Hansen des variétés de Deligne-Lusztig $\mathbf{X}(w)$ dans leur revêtement $\mathbf{Y}(w)$ et retrouvons ainsi un résultat de Deligne-Lusztig [DeLu, Lemma 9.13] sur la monodromie locale autour des diviseurs de la compactification.

Table des matières

Introduction	1
Notations	2
1. Variétés de Deligne-Lusztig	2
1.A. Définition	3
1.B. Compactification de Bott-Samelson-Demazure-Hansen	5
1.C. Normalisation	6
2. Démonstration du théorème 1.5	8
2.A. Première réduction	8
2.B. Fonctions bi-invariantes sur $\mathbf{G}_{\alpha}\mathbf{U}$	8
$2.\mathrm{C.}$ Construction de la variété $\overline{\mathbf{Y}}(\mathbf{w})$: première étape	10
2.D. Construction de la variété $\overline{\mathbf{Y}}(\mathbf{w})$: deuxième étape	11
2.E. Fin de la démonstration	15
Références	17

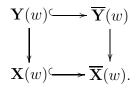
Introduction

Dans [BoRo], nous avons étudié le prolongement de certains systèmes locaux sur les variétés de Deligne-Lusztig en vue d'une application algébrique (équivalence de Morita donnée par la décomposition de Jordan, conjecturée par Broué). Dans cette étude, nous utilisions un résultat crucial de Deligne-Lusztig sur la ramification de ces systèmes locaux [DeLu, lemme 9.13]. Une des motivations du présent travail est de fournir une alternative "explicite" au calcul local effectué dans la preuve de Deligne et Lusztig.

Plus précisément, si w est un élément du groupe de Weyl d'un groupe réductif connexe \mathbf{G} muni d'une isogénie F dont une puissance est un endomorphisme de Frobenius, il lui est associé deux variétés de Deligne-Lusztig $\mathbf{X}(w)$ et $\mathbf{Y}(w)$ ainsi qu'un morphisme fini étale $\mathbf{Y}(w) \to \mathbf{X}(w)$ faisant de $\mathbf{X}(w)$ un quotient de $\mathbf{Y}(w)$ par l'action du groupe fini \mathbf{T}^F des points rationnels d'un tore maximal F-stable

Date: September 4, 2008.

 \mathbf{T} de \mathbf{G} (voir [DeLu, §1] : la variété $\mathbf{Y}(w)$ y est notée $\widetilde{\mathbf{X}}(\dot{w})$). Deligne et Lusztig [DeLu, lemme 9.11] ont construit une compactification lisse $\overline{\mathbf{X}}(w)$ de $\mathbf{X}(w)$ à la Bott-Samelson-Demazure-Hansen. Le but principal de cet article est de construire explicitement la normalisation $\overline{\mathbf{Y}}(w)$ de $\overline{\mathbf{X}}(w)$ dans $\mathbf{Y}(w)$:



Une fois cette construction explicite réalisée, nous en déduisons les propriétés fondamentales de $\overline{\mathbf{Y}}(w)$ (voir le théorème 1.5) permettant d'en déduire une nouvelle preuve du lemme 9.13 de Deligne-Lusztig [DeLu] qui détermine la monodromie locale du revêtement le long d'une des composantes de $\overline{\mathbf{X}}(w) - \mathbf{X}(w)$. Ce lemme est un point clef dans la preuve de Deligne-Lusztig des conjectures de Macdonald associant une représentation irréducible de \mathbf{G}^F à un caractère en position générale de \mathbf{T}^F .

NOTATIONS

Tout au long de cet article, nous fixons un groupe réductif connexe \mathbf{G} défini sur une clôture algébrique \mathbb{F} du corps fini à p éléments \mathbb{F}_p , où p est un nombre premier. Nous supposons de plus que \mathbf{G} est muni d'une isogénie $F: \mathbf{G} \to \mathbf{G}$ dont une puissance est un endomorphisme de Frobenius de \mathbf{G} .

Fixons un sous-groupe de Borel F-stable \mathbf{B} de \mathbf{G} , un tore maximal F-stable \mathbf{T} de \mathbf{B} et notons \mathbf{U} le radical unipotent de \mathbf{B} . Notons $W = N_{\mathbf{G}}(\mathbf{T})/\mathbf{T}$ le groupe de Weyl de \mathbf{G} relativement à \mathbf{T} , $X(\mathbf{T})$ (resp. $Y(\mathbf{T})$) le réseau des caractères (resp. des sous-groupes à un paramètre) de \mathbf{T} , Φ (resp. Φ^{\vee}) le système de racines (resp. coracines) de \mathbf{G} relativement à \mathbf{T} , Δ (resp. Δ^{\vee}) la base de Φ (resp. Φ^{\vee}) associée à \mathbf{B} et Φ_+ (resp. Φ_+^{\vee}) l'unique système de racines (resp. coracines) positives contenant Δ (resp. Δ^{\vee}).

Si $\alpha \in \Phi$, on notera α^{\vee} sa coracine associée, $s_{\alpha} \in W$ la réflexion par rapport à α , \mathbf{U}_{α} le sous-groupe unipotent à un paramètre normalisé par \mathbf{T} associé à α , $\mathbf{T}_{\alpha^{\vee}}$ le sous-tore de \mathbf{T} image de α^{\vee} et \mathbf{G}_{α} le sous-groupe de \mathbf{G} engendré par \mathbf{U}_{α} et $\mathbf{U}_{-\alpha}$.

Posons $S = \{s_{\alpha} \mid \alpha \in \Delta\}$ et $\bar{S} = S \cup \{1\}$. Nous noterons $\ell : W \to \mathbb{N} = \{0, 1, 2, ...\}$ la fonction longueur relativement à S. Nous noterons B le groupe de tresses associé à (W, S), de générateurs $\{\mathbf{s}_{\alpha} \mid \alpha \in \Delta\}$. Soit $f : B \to W$ le morphisme canonique (i.e. l'unique morphisme tel que $f(\mathbf{s}_{\alpha}) = s_{\alpha}$ pour tout $\alpha \in \Delta$) et soit $\sigma : W \to B$ l'unique application telle que $\sigma(s_{\alpha}) = \mathbf{s}_{\alpha}$ pour tout $\alpha \in \Delta$ et $\sigma(vw) = \sigma(v)\sigma(w)$ si $\ell(vw) = \ell(v) + \ell(w)$. Cette application vérifie $f \circ \sigma = \mathrm{Id}_W$.

1. Variétés de Deligne-Lusztig

Le lecteur pourra trouver dans [DiMiRo] les résultats généraux sur les variétés de Deligne-Lusztig que nous utiliserons ici.

1.A. **Définition.** Si $n \in N_{\mathbf{G}}(\mathbf{T})$ et si $g\mathbf{U}$, $h\mathbf{U} \in \mathbf{G}/\mathbf{U}$, nous écrirons $g\mathbf{U} \stackrel{n}{\longrightarrow} h\mathbf{U}$ si $g^{-1}h \in \mathbf{U}n\mathbf{U}$. Si $w \in W$ et si $g\mathbf{B}$, $h\mathbf{B} \in \mathbf{G}/\mathbf{B}$, nous écrirons $g\mathbf{B} \stackrel{w}{\longrightarrow} h\mathbf{B}$ si $g^{-1}h \in \mathbf{B}w\mathbf{B}$.

Si $\mathbf{n} = (n_1, \dots, n_r)$ est une suite d'éléments de $N_{\mathbf{G}}(\mathbf{T})$ et si $\mathbf{w} = (w_1, \dots, w_r)$ désigne la suite de leurs images respectives dans W, on pose

$$\mathcal{U}(\mathbf{n}) = \{ (g_1 \mathbf{U}, \dots, g_r \mathbf{U}, g_{r+1} \mathbf{U}) \in (\mathbf{G}/\mathbf{U})^{r+1} \mid g_1 \mathbf{U} \xrightarrow{n_1} g_2 \mathbf{U} \xrightarrow{n_2} \cdots \xrightarrow{n_{r-1}} g_r \mathbf{U} \xrightarrow{n_r} g_{r+1} \mathbf{U} \}$$

et

$$\mathcal{B}(\mathbf{w}) = \{ (g_1 \mathbf{B}, \dots, g_r \mathbf{B}, g_{r+1} \mathbf{B}) \in (\mathbf{G}/\mathbf{B})^{r+1} \mid g_1 \mathbf{B} \xrightarrow{w_1} g_2 \mathbf{B} \xrightarrow{w_2} \cdots \xrightarrow{w_{r-1}} g_r \mathbf{B} \xrightarrow{w_r} g_{r+1} \mathbf{B} \}$$

Si $t \in \mathbf{T}$ et $(g_1\mathbf{U}, \dots, g_r\mathbf{U}, g_{r+1}\mathbf{U}) \in \mathcal{U}(\mathbf{n})$, on pose

$$(g_1\mathbf{U}, g_2\mathbf{U}, \dots, g_r\mathbf{U}, g_{r+1}\mathbf{U}) \cdot t = (g_1t\mathbf{U}, g_2^{n_1}t\mathbf{U}, \dots, g_r^{n_{r-1}\cdots n_1}t\mathbf{U}, g_{r+1}^{n_r\cdots n_1}t\mathbf{U}).$$

Il est alors facile de vérifier que, si $\mathbf{g} \in \mathcal{U}(\mathbf{n})$, alors $\mathbf{g} \cdot t \in \mathcal{U}(\mathbf{n})$ et cela définit une action à droite de \mathbf{T} sur $\mathcal{U}(\mathbf{n})$. De plus, le morphisme canonique $\mathbf{G}/\mathbf{U} \to \mathbf{G}/\mathbf{B}$ induit un morphisme

$$\pi_{\mathbf{n}}: \quad \mathcal{U}(\mathbf{n}) \longrightarrow \mathcal{B}(\mathbf{w}) \\ (g_1\mathbf{U}, \dots, g_r\mathbf{U}) \longmapsto (g_1\mathbf{B}, \dots, g_r\mathbf{B})$$

et ce dernier induit un isomorphisme

(1.1)
$$\mathcal{U}(\mathbf{n})/\mathbf{T} \stackrel{\sim}{\to} \mathcal{B}(\mathbf{w}).$$

Posons maintenant

$$\boldsymbol{v}_{\mathbf{n}}: \quad \boldsymbol{\mathcal{U}}(\mathbf{n}) \longrightarrow \mathbf{G}/\mathbf{U} \times \mathbf{G}/\mathbf{U} \\ (g_1\mathbf{U}, \dots, g_{r+1}\mathbf{U}) \longmapsto (g_1\mathbf{U}, g_{r+1}\mathbf{U})$$

$$\boldsymbol{\beta}_{\mathbf{w}}: \quad \boldsymbol{\mathcal{B}}(\mathbf{w}) \longrightarrow \mathbf{G}/\mathbf{B} \times \mathbf{G}/\mathbf{B}$$

 $(g_1\mathbf{B}, \dots, g_{r+1}\mathbf{B}) \longmapsto (g_1\mathbf{B}, g_{r+1}\mathbf{B}).$

Alors le diagramme

$$\begin{array}{c|c} \mathcal{U}(\mathbf{n}) & \xrightarrow{\quad \boldsymbol{v}_{\mathbf{n}} \quad} \mathbf{G}/\mathbf{U} \times \mathbf{G}/\mathbf{U} \\ \pi_{\mathbf{n}} & \downarrow & \downarrow \\ \mathcal{B}(\mathbf{w}) & \xrightarrow{\quad \boldsymbol{\beta}_{\mathbf{w}} \quad} \mathbf{G}/\mathbf{B} \times \mathbf{G}/\mathbf{B} \end{array}$$

est commutatif (la flèche verticale de droite étant la projection canonique).

Notons \mathcal{U}_F (resp. \mathcal{B}_F) le graphe du morphisme de Frobenius $F: \mathbf{G}/\mathbf{U} \to \mathbf{G}/\mathbf{U}$ (resp. $F: \mathbf{G}/\mathbf{B} \to \mathbf{G}/\mathbf{B}$). Les variétés de Deligne-Lusztig associées à \mathbf{n} et \mathbf{w} sont respectivement définies par

$$\mathbf{Y}(\mathbf{n}) = \boldsymbol{v}_{\mathbf{n}}^{-1}(\boldsymbol{\mathcal{U}}_F) \quad \mathrm{et} \quad \mathbf{X}(\mathbf{w}) = \boldsymbol{\beta}_{\mathbf{w}}^{-1}(\boldsymbol{\mathcal{B}}_F).$$

Notons toujours $\mathbf{w}: \mathbf{T} \to \mathbf{T}$ la conjugaison par $w_1 \cdots w_r$. Alors le groupe $\mathbf{T}^{\mathbf{w}F}$ agit sur $\mathbf{Y}(\mathbf{n})$ (par restriction de l'action de \mathbf{T} sur $\mathbf{\mathcal{U}}(\mathbf{n})$) et le morphisme canonique $\pi_{\mathbf{n}}: \mathbf{Y}(\mathbf{n}) \to \mathbf{X}(\mathbf{w})$ obtenu par restriction de $\pi_{\mathbf{n}}$ induit un isomorphisme

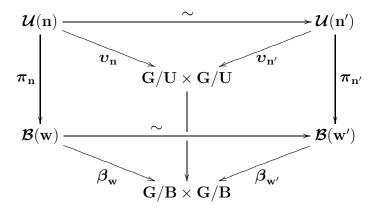
$$\mathbf{Y(n)}/\mathbf{T}^{\mathbf{w}F} \overset{\sim}{\to} \mathbf{X(w)}.$$

Pour finir, notons $v_n : \mathbf{Y}(n) \to \mathbf{G}/\mathbf{U}$ et $\beta_{\mathbf{w}} : \mathbf{X}(\mathbf{w}) \to \mathbf{G}/\mathbf{B}$ les premières projections. Alors le diagramme

$$\begin{array}{ccc}
\mathbf{Y}(\mathbf{n}) & \xrightarrow{\upsilon_{\mathbf{n}}} & \mathbf{G}/\mathbf{U} \\
\pi_{\mathbf{n}} \downarrow & \downarrow \\
\mathbf{X}(\mathbf{w}) & \xrightarrow{\beta_{\mathbf{w}}} & \mathbf{G}/\mathbf{B}
\end{array}$$

est commutatif (la flèche verticale de droite étant la projection canonique).

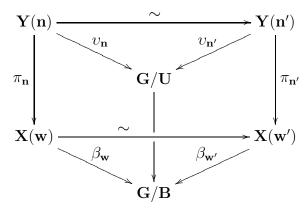
REMARQUE 1.3 - Prolongeons l'application $\sigma: W \to B$ aux suites d'éléments de W en posant $\sigma(\mathbf{w}) = \sigma(w_1) \cdots \sigma(w_r)$. Si \mathbf{n}' est une autre suite d'eléments de $N_{\mathbf{G}}(\mathbf{T})$ dont la suite des images dans W est \mathbf{w}' , et si $\sigma(\mathbf{w}) = \sigma(\mathbf{w}')$, alors les variétés $\mathcal{B}(\mathbf{w})$ et $\mathcal{B}(\mathbf{w}')$ sont canoniquement isomorphes et les \mathbf{T} -variétés $\mathcal{U}(\mathbf{n})$ et $\mathcal{U}(\mathbf{n}')$ sont isomorphes, ces isomorphismes rendant le diagramme



commutatif.

De plus, $\mathbf{T}^{\mathbf{w}F} = \mathbf{T}^{\mathbf{w}'F}$ et les $\mathbf{T}^{\mathbf{w}F}$ -variétés $\mathbf{Y}(\mathbf{n})$ et $\mathbf{Y}(\mathbf{n}')$ (resp. les variétés $\mathbf{X}(\mathbf{w})$ et $\mathbf{X}(\mathbf{w}')$) sont isomorphes (resp. canoniquement isomorphes), les isomorphismes

rendant le diagramme



commutatif. \Box

1.B. Compactification de Bott-Samelson-Demazure-Hansen. Pour tout $\alpha \in \Delta$, on fixe un représentant \dot{s}_{α} de s_{α} dans \mathbf{G}_{α} . La remarque 1.3 montre que, dans le but de construire une compactification des variétés $\mathbf{Y}(\mathbf{n})$ et $\mathbf{X}(\mathbf{w})$, il est suffisant de travailler sous les hypothèses suivantes :

Hypothèse: Nous fixons une suite $(\alpha_1, \ldots, \alpha_r)$ d'éléments de Δ et, si $1 \leq i \leq r$, nous posons pour simplifier $s_i = s_{\alpha_i}$ et $\dot{s}_i = \dot{s}_{\alpha_i}$. Nous supposons de plus que $\mathbf{n} = (\dot{s}_1, \ldots, \dot{s}_r)$ et $\mathbf{w} = (s_1, \ldots, s_r)$.

Si $\mathbf{x} = (x_1, \dots, x_r)$ et $\mathbf{y} = (y_1, \dots, y_r)$ sont deux suites d'éléments de $\bar{S} = S \cup \{1\}$ (de même longueur), nous écrirons $\mathbf{x} \preceq \mathbf{y}$ si, pour tout $i \in \{1, 2, \dots, r\}$, on a $x_i \in \{1, y_i\}$. On pose aussi $\dot{\mathbf{x}} = (\dot{x}_1, \dots, \dot{x}_r)$, où nous choisirons toujours $\dot{\mathbf{1}} = 1$. Par exemple, $\dot{\mathbf{w}} = \mathbf{n}$ et, pour simplifier les notations, nous noterons $\boldsymbol{\pi}_{\mathbf{x}}$, $\boldsymbol{\pi}_{\mathbf{x}}$, $\boldsymbol{v}_{\mathbf{x}}$ et $v_{\mathbf{x}}$ les applications $\boldsymbol{\pi}_{\dot{\mathbf{x}}}$, $\boldsymbol{\pi}_{\dot{\mathbf{x}}}$, $\boldsymbol{v}_{\dot{\mathbf{x}}}$ et $v_{\dot{\mathbf{x}}}$, et la variété $\mathbf{Y}(\dot{\mathbf{x}})$ sera notée $\mathbf{Y}(\mathbf{x})$. Pour finir, on pose $I_{\mathbf{x}} = \{1 \leqslant i \leqslant r \mid x_i = 1\}$ et on définit, comme dans [BoRo, §4.4.2],

$$Y_{\mathbf{w},\mathbf{x}} = \sum_{i \in I_{\mathbf{x}}} \mathbb{Z} \ s_1 \cdots s_{i-1}(\alpha_i^{\vee}).$$

Bott-Samelson, Demazure et Hansen ont construit une compactification lisse $\overline{\mathcal{B}}(\mathbf{w})$ de $\mathcal{B}(\mathbf{w})$:

$$\overline{\mathcal{B}}(\mathbf{w}) = \coprod_{\mathbf{x} \leq \mathbf{w}} \mathcal{B}(\mathbf{x})$$

$$= \{ (g_1 \mathbf{B}, \dots, g_{r+1} \mathbf{B}) \in (\mathbf{G}/\mathbf{B})^{r+1} \mid \forall \ 1 \leq i \leq r, \ g_i^{-1} g_{i+1} \in \mathbf{G}_{\alpha_i} \mathbf{B} \}.$$

Alors $\mathcal{B}(\mathbf{w})$ est lisse, projective, irréductible et contient $\mathcal{B}(\mathbf{w})$ comme sous-variété ouverte. Posons

$$\overline{\beta}_{\mathbf{w}}: \quad \overline{\mathcal{B}}(\mathbf{w}) \longrightarrow \mathbf{G}/\mathbf{B} \times \mathbf{G}/\mathbf{B} (g_1\mathbf{B}, \dots, g_{r+1}\mathbf{B}) \longmapsto (g_1\mathbf{B}, g_{r+1}\mathbf{B}).$$

Alors $\overline{\beta}_{\mathbf{w}}$ prolonge $\beta_{\mathbf{w}}$ (et en fait coïncide avec $\beta_{\mathbf{x}}$ sur $\mathbf{\mathcal{B}}(\mathbf{x})$ pour tout $\mathbf{x} \preccurlyeq \mathbf{w}$). On pose alors, suivant [DeLu, §9.10],

$$\overline{\mathbf{X}}(\mathbf{w}) = \overline{\boldsymbol{\beta}}_{\mathbf{w}}^{-1}(\boldsymbol{\mathcal{B}}_F).$$

Notons que

$$\overline{\mathbf{X}}(\mathbf{w}) = \coprod_{\mathbf{x} \leq \mathbf{w}} \mathbf{X}(\mathbf{x}).$$

Alors $\overline{\mathbf{X}}(\mathbf{w})$ est une variété lisse, projective et contient $\mathbf{X}(\mathbf{w})$ comme sous-variété ouverte [DeLu, lemme 9.11].

1.C. Normalisation. Avant de parler de la compactification de $\mathbf{Y}(\mathbf{n})$ et avant d'énoncer le résultat principal de cet article, nous aurons besoin de quelques notations. Tout d'abord, fixons un entier naturel non nul d et une puissance q de p tels que, pour tout $t \in \mathbf{T}$ et pour tout $w \in W$, on ait $(wF)^d(t) = t^q$. On fixe une racine primitive (q-1)-ième de l'unité ζ dans \mathbf{G}_m . On note encore $\mathbf{w}F:Y(\mathbf{T})\to Y(\mathbf{T})$ l'endomorphisme de groupes induits par l'endomorphisme $\mathbf{w}F: \mathbf{T} \to \mathbf{T}$ et on pose

$$N_{\mathbf{w}}: Y(\mathbf{T}) \longrightarrow \mathbf{T}^{\mathbf{w}F}$$

 $\lambda \longmapsto N_{F^d/\mathbf{w}F}(\lambda(\zeta)),$

où $N_{F^d/\mathbf{w}F}: \mathbf{T} \to \mathbf{T}, t \mapsto t \cdot {}^{\mathbf{w}F}t \cdots ({}^{\mathbf{w}F})^{d-1}t$. Rappelons que $N_{\mathbf{w}}$ est surjective et induit un isomorphisme

$$Y(\mathbf{T})/(\mathbf{w}F-1)(Y(\mathbf{T})) \stackrel{\sim}{\to} \mathbf{T}^{\mathbf{w}F}.$$

Le morphisme $\pi_{\mathbf{w}}: \mathbf{Y}(\mathbf{w}) \to \mathbf{X}(\mathbf{w})$ étant fini, on peut définir la normalisation $\overline{\mathbf{Y}}(\mathbf{w})$ de $\overline{\mathbf{X}}(\mathbf{w})$ dans $\mathbf{Y}(\mathbf{w})$: c'est l'unique variété normale \mathbf{Z} contenant $\mathbf{Y}(\mathbf{w})$ comme sous-variété ouverte dense et munie d'un morphisme fini $\overline{\pi}_{\mathbf{w}}: \mathbf{Z} \to \overline{\mathbf{X}}(\mathbf{w})$ prolongeant $\pi_{\mathbf{w}}$. Le morphisme $\overline{\pi}_{\mathbf{w}}: \overline{\mathbf{Y}}(\mathbf{w}) \to \overline{\mathbf{X}}(\mathbf{w})$ étant fini, $\overline{\mathbf{Y}}(\mathbf{w})$ est une variété projective. Le but de cet article est de la construire explicitement et d'en déduire les propriétés suivantes :

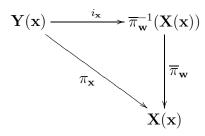
Théorème 1.5. Avec les notations précédentes, on a :

(a) La variété $\overline{Y}(\mathbf{w})$ est une variété projective, normale, rationnellement lisse, de lieu singulier contenu dans

$$\overline{\pi}_{\mathbf{w}}^{-1} \Big(\bigcup_{\substack{\mathbf{x} \leq \mathbf{w} \\ |I_{\mathbf{x}}| \geqslant 2}} \mathbf{X}(\mathbf{x}) \Big).$$

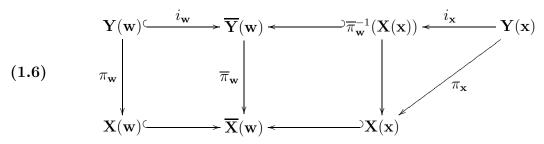
- (b) La variété $\overline{\mathbf{Y}}(\mathbf{w})$ est munie d'une action de $\mathbf{T}^{\mathbf{w}F}$ prolongeant l'action sur $\mathbf{Y}(\mathbf{w})$ et telle que $\overline{\pi}_{\mathbf{w}}$ induit un isomorphisme $\overline{\mathbf{Y}}(\mathbf{w})/\mathbf{T}^{\mathbf{w}F} \overset{\sim}{\to} \overline{\mathbf{X}}(\mathbf{w})$. (c) $Si \ \mathbf{x} \preceq \mathbf{w}$, le stabilisateur dans $\mathbf{T}^{\mathbf{w}F}$ d'un élément de $\overline{\pi}_{\mathbf{w}}^{-1}(\mathbf{X}(\mathbf{x}))$ est égal à
- $N_{\mathbf{w}}(Y_{\mathbf{w},\mathbf{x}}).$

(d) Si $\mathbf{x} \leq \mathbf{w}$, alors il existe un morphisme canonique $i_{\mathbf{x}} : \mathbf{Y}(\mathbf{x}) \to \overline{\pi}_{\mathbf{w}}^{-1}(\mathbf{X}(\mathbf{x}))$ rendant le diagramme suivant commutatif



et induisant un isomorphisme $\mathbf{Y}(\mathbf{x})/N_{\mathbf{x}}(Y_{\mathbf{w},\mathbf{x}}) \xrightarrow{\sim} \overline{\pi}_{\mathbf{w}}^{-1}(\mathbf{X}(\mathbf{x})).$

Rassemblons les constructions précédentes dans le diagramme commutatif suivant :



REMARQUE 1.7 - L'énoncé (c) du théorème précédent montre que

$$\mathbf{X}(\mathbf{x}) \simeq \overline{\pi}_{\mathbf{w}}^{-1}(\mathbf{X}(\mathbf{x})) / \big(\mathbf{T}^{\mathbf{w}F}/N_{\mathbf{w}}(Y_{\mathbf{w},\mathbf{x}})\big)$$

tandis que l'énoncé (d) montre que

$$\mathbf{X}(\mathbf{x}) \simeq \overline{\pi}_{\mathbf{w}}^{-1}(\mathbf{X}(\mathbf{x})) / \big(\mathbf{T}^{\mathbf{x}F}/N_{\mathbf{x}}(Y_{\mathbf{w},\mathbf{x}})\big).$$

Ceci n'est pas une incohérence car

$$\mathbf{T}^{\mathbf{w}F}/N_{\mathbf{w}}(Y_{\mathbf{w},\mathbf{x}}) \simeq \mathbf{T}^{\mathbf{x}F}/N_{\mathbf{x}}(Y_{\mathbf{w},\mathbf{x}})$$

d'après [BoRo, proposition 4.4 (4)]. \square

La section suivante est consacrée à la démonstration du théorème 1.5. Avant cela, montrons que ce théorème fournit une autre preuve de [DeLu, lemme 9.13]. Tout d'abord, si $1 \le i \le r$, notons $\mathbf{w}(i) = (s_1, \ldots, s_{i-1}, 1, s_{i+1}, \ldots, s_r) \le \mathbf{w}$. Alors

$$\overline{\mathbf{X}}(\mathbf{w}) \setminus \mathbf{X}(\mathbf{w}) = \bigcup_{i=1}^r \overline{\mathbf{X}(\mathbf{w}(i))}$$

et les $\overline{\mathbf{X}(\mathbf{w}(i))}$ sont des diviseurs lisses à croisements normaux.

On en déduit alors [DeLu, Lemma 9.13]:

Corollaire 1.8. Le $\mathbf{T}^{\mathbf{w}F}$ -torseur $\mathbf{Y}(\mathbf{w})$ (au-dessus de $\mathbf{X}(\mathbf{w})$) se ramifie le long de $\mathbf{X}(\mathbf{w}(i))$ de la même façon que le changement de base sous $s_1 \cdots s_{i-1}(\alpha_i^{\vee}) : \mathbf{G}_m \to \mathbf{T}$ du revêtement de Lang $\mathbf{T} \to \mathbf{T}$, $t \mapsto t^{-1} \cdot \mathbf{w}^F t$, se ramifie en 0.

2. Démonstration du Théorème 1.5

2.A. **Première réduction.** La preuve que nous proposons du théorème 1.5 passe par une construction explicite de $\mathbf{Y}(\mathbf{w})$. Cependant, pour simplifier cette construction, il convient de remarquer qu'en raisonnant comme dans [BoRo, §6.2], on peut supposer (et nous le ferons) que l'hypothèse suivante est satisfaite :

Hypothèse. Dorénavant, et ce jusqu'à la fin de §2, nous supposerons que le groupe dérivé de G est simplement connexe.

Notons que ceci implique que $\mathbf{G}_{\alpha} \simeq \mathbf{SL}_2$ et que α^{\vee} est injective pour toute racine α (en particulier, $Y(\mathbf{T})/\mathbb{Z}\alpha^{\vee}$ est sans torsion).

2.B. Fonctions bi-invariantes sur $G_{\alpha}U$. Avant de procéder à la construction explicite de $\mathbf{Y}(\mathbf{w})$, nous aurons besoin de quelques résultats préliminaires sur les fonctions régulières sur $G_{\alpha}U$ invariantes par l'action de $U \times U$ par translations à gauche et à droite (ici, α est une racine simple). Commençons par étudier le cas du groupe SL_2 .

Notons

$$\varphi: \quad \mathbf{SL}_2 \quad \longrightarrow \quad \mathbf{A}^1$$

$$\begin{pmatrix} a & b \\ c & d \end{pmatrix} \quad \longmapsto \quad c$$

et notons U_2 le sous-groupe de SL_2 formé des matrices unipotentes triangulaires supérieures. Il est alors facile de vérifier que φ est invariante par l'action de $\mathbf{U}_2 \times \mathbf{U}_2$ sur SL_2 (par translations à gauche et à droite). En fait, en notant B_2 le groupe des matrices triangulaires supérieures de SL_2 , on a :

Proposition 2.1. Soient $g \in \mathbf{SL}_2$, $z \in \mathbf{G}_m$, $t = \operatorname{diag}(z, z^{-1})$ et $s = \begin{pmatrix} 0 & -1 \\ 1 & 0 \end{pmatrix}$. Alors:

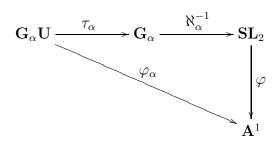
- (a) $\mathbb{F}[\mathbf{SL}_2]^{\mathbf{U}_2 \times \mathbf{U}_2} = \mathbb{F}[\varphi].$ (b) $\varphi(tg) = z^{-1}\varphi(g)$ et $\varphi(gt) = z\varphi(g).$ (c) $\varphi(t^{-1}g^st) = \varphi(g).$
- (d) On a $\varphi(g) = 0$ si et seulement si $g \in \mathbf{B}_2$.
- (e) On a $\varphi(g) = 1$ si et seulement si $g \in \mathbf{U}_2 s \mathbf{U}_2$.

 $D\acute{e}monstration.$ (a) Soit $\psi \in \mathbb{F}[\mathbf{SL}_2]^{\mathbf{U}_2 \times \mathbf{U}_2}$. Il existe un unique polynôme $P \in \mathbb{F}[T]$ tel que, pour tout $c \in \mathbf{A}^1$, $\psi\begin{pmatrix} 1 & 0 \\ c & 1 \end{pmatrix} = P(c)$. Alors $\psi - P(\varphi)$ est une fonction $\mathbf{U}_2 \times \mathbf{U}_2$ -invariante sur \mathbf{SL}_2 et nullé sur ${}^s\mathbf{U}_2$. Par conséquent, elle est nulle sur $\mathbf{U}_2{}^s\mathbf{U}_2\mathbf{U}_2$: or, cet ensemble est dense dans \mathbf{SL}_2 , donc $\psi - P(\varphi) = 0$.

Revenons aux groupes $\mathbf{G}_{\alpha}\mathbf{U}$. Fixons une racine simple $\alpha \in \Delta$. Choisissons un isomorphisme $\aleph_{\alpha} : \mathbf{SL}_2 \xrightarrow{\sim} \mathbf{G}_{\alpha}$ de sorte que

$$\aleph_{\alpha}(\mathbf{U}_2) = \mathbf{U}_{\alpha}, \quad \aleph_{\alpha}(s) = \dot{s}_{\alpha}, \quad \text{et} \quad \aleph_{\alpha} \begin{pmatrix} z & 0 \\ 0 & z^{-1} \end{pmatrix} = \alpha^{\vee}(z)$$

pour tout $z \in \mathbf{G}_m$. Notons \mathbf{U}_{α}^* le sous-groupe de \mathbf{U} engendré par la famille $(\mathbf{U}_{\beta})_{\beta \in \Phi^+ \setminus \{\alpha\}}$. On a alors $\mathbf{G}_{\alpha}\mathbf{U} = \mathbf{G}_{\alpha}\mathbf{U}_{\alpha}^* = \mathbf{G}_{\alpha} \ltimes \mathbf{U}_{\alpha}^*$. On note $\tau_{\alpha} : \mathbf{G}_{\alpha} \ltimes \mathbf{U}_{\alpha}^* \to \mathbf{G}_{\alpha}$ la projection naturelle. Notons pour finir φ_{α} la composition $\varphi \circ \aleph_{\alpha}^{-1} \circ \tau_{\alpha} : \mathbf{G}_{\alpha}\mathbf{U} \longrightarrow \mathbf{A}^1$, de sorte que le diagramme



soit commutatif. C'est une fonction régulière sur $G_{\alpha}U$. Notons de plus que

$$\varphi_{\alpha}(\dot{s}_{\alpha}) = 1,$$

 $\operatorname{car} \varphi(s) = 1.$

Proposition 2.3. Soient $g \in \mathbf{G}_{\alpha}\mathbf{U}$, $u, v \in \mathbf{U}$, $t \in \mathbf{T}$ et $z \in \mathbf{G}_m$. Alors

- (a) $\varphi_{\alpha}(ugv) = \varphi_{\alpha}(g)$.
- (b) $\varphi_{\alpha}(g\alpha^{\vee}(z)) = z\varphi_{\alpha}(g)$ et $\varphi_{\alpha}(\alpha^{\vee}(z)g) = z^{-1}\varphi_{\alpha}(g)$.
- (c) $t^{-1}g^{s_{\alpha}}t \in \mathbf{G}_{\alpha}\mathbf{U}$ et $\varphi_{\alpha}(t^{-1}g^{s_{\alpha}}t) = \varphi(g)$.
- (d) $\varphi_{\alpha}(g) = 0$ si et seulement si $g \in \mathbf{B}$ (c'est-à-dire si et seulement si $g \in \mathbf{T}_{\alpha^{\vee}}\mathbf{U} = \mathbf{B} \cap \mathbf{G}_{\alpha}\mathbf{U}$).
- (e) $\varphi_{\alpha}(g) = 1$ si et seulement si $g \in \mathbf{U}\dot{s}_{\alpha}\mathbf{U}$.

Démonstration. Les assertions (a), (b), (d) et (e) découlent facilement de la proposition 2.1 et du fait que \mathbf{U}_{α}^* est normalisé par \mathbf{U} et \mathbf{G}_{α} . Seul le (c) nécessite un commentaire. Tout d'abord, comme \mathbf{T} est engendré par $\ker \alpha$ et $\mathbf{T}_{\alpha^{\vee}}$, il suffit de montrer le résultat dans les deux cas suivants : $\alpha(t) = 1$ ou $t = \alpha^{\vee}(z)$, $z \in \mathbf{G}_m$. Le deuxième cas se traite immédiatement par la proposition 2.1. Dans le premier cas, on remarque que t commute avec \mathbf{G}_{α} (et donc ${}^{s_{\alpha}}t = t$) et, comme il normalise \mathbf{U}_{α}^* , on a $\tau_{\alpha}(t^{-1}g^{s_{\alpha}}t) = \tau_{\alpha}(g)$.

2.C. Construction de la variété $\overline{Y}(w)$: première étape. Posons pour commencer

$$\tilde{\mathcal{U}}(\mathbf{w}) = \{(g_1\mathbf{U}, \dots, g_{r+1}\mathbf{U}) \in (\mathbf{G}/\mathbf{U})^{r+1} \mid \forall \ 1 \leqslant i \leqslant r, \ g_i^{-1}g_{i+1} \in \mathbf{G}_{\alpha_i}\mathbf{U}\}$$

et notons

$$\tilde{\boldsymbol{\pi}}_{\mathbf{w}}: \tilde{\boldsymbol{\mathcal{U}}}(\mathbf{w}) \longrightarrow \overline{\boldsymbol{\mathcal{B}}}(\mathbf{w})$$

l'application canonique. La variété $\tilde{\mathcal{U}}(\mathbf{w})$ est irréductible, quasi-affine, lisse et de dimension $2r + \dim \mathbf{G}/\mathbf{U}$.

Nous définissons

$$\varphi_{\mathbf{w}}: \quad \tilde{\mathcal{U}}(\mathbf{w}) \longrightarrow \mathbf{A}^r \\
(g_1\mathbf{U}, \dots, g_{r+1}\mathbf{U}) \longmapsto (\varphi_{\alpha_1}(g_1^{-1}g_2), \dots, \varphi_{\alpha_r}(g_r^{-1}g_{r+1})).$$

D'après la proposition 2.3 (a), l'application $\varphi_{\mathbf{w}}$ est bien définie et est un morphisme de variétés. Fixons maintenant un r-uplet d'entiers naturels non nuls $\mathbf{d} = (d_1, \ldots, d_r)$, notons $f_{\mathbf{d}} : \mathbf{A}^r \to \mathbf{A}^r$, $(\xi_1, \ldots, \xi_r) \mapsto (\xi_1^{d_1}, \ldots, \xi_r^{d_r})$ et posons

$$\tilde{\boldsymbol{\mathcal{U}}}_{\mathbf{d}}(\mathbf{w}) = \{(\mathbf{g}, \boldsymbol{\xi}) \in \tilde{\boldsymbol{\mathcal{U}}}(\mathbf{w}) \times \mathbf{A}^r \mid \varphi_{\mathbf{w}}(\mathbf{g}) = f_{\mathbf{d}}(\boldsymbol{\xi})\}.$$

Proposition 2.4. La variété $\tilde{\mathcal{U}}_{\mathbf{d}}(\mathbf{w})$ est lisse, de dimension $2r + \dim \mathbf{G}/\mathbf{U}$.

Démonstration. Si $\alpha \in \Delta$ et $d \in \mathbb{N}^*$, posons

$$\mathcal{U}_{\alpha,d} = \{(g,\xi) \in \mathbf{G}_{\alpha}\mathbf{U}/\mathbf{U} \times \mathbf{A}^1 \mid \varphi_{\alpha}(g) = \xi^d\}.$$

Les isomorphismes $\aleph_{\alpha}: \mathbf{G}_{\alpha} \xrightarrow{\sim} \mathbf{SL}_{2}$ et $\mathbf{SL}_{2}/\mathbf{U}_{2} \xrightarrow{\sim} \mathbf{A}^{2} - \{(0,0)\}, \begin{pmatrix} a & b \\ c & d \end{pmatrix} \mapsto (a,c)$ induisent un isomorphisme $\mathbf{G}_{\alpha}\mathbf{U}/\mathbf{U} \xrightarrow{\sim} \mathbf{A}^{2} \setminus \{(0,0)\}$ et finalement

$$\mathcal{U}_{\alpha,d} \stackrel{\sim}{\to} \{(x,y,\xi) \in \mathbf{A}^3 \mid (x,y) \neq (0,0) \text{ et } y = \xi^d\} \simeq \mathbf{A}^2 \setminus \{(0,0)\}.$$

En particulier, $\mathcal{U}_{\alpha,d}$ est lisse.

Soient $\mathbf{w}_i = (s_1, \dots, s_i)$ et $\mathbf{d}_i = (d_1, \dots, d_i)$. On dispose d'une suite de morphismes canoniques

$$ilde{\mathcal{U}}_{\mathbf{d}}(\dot{\mathbf{w}}) = ilde{\mathcal{U}}_{\mathbf{d}_r}(\dot{\mathbf{w}}_r) \longrightarrow ilde{\mathcal{U}}_{\mathbf{d}_{r-1}}(\dot{\mathbf{w}}_{r-1}) \longrightarrow \cdots \longrightarrow ilde{\mathcal{U}}_{\mathbf{d}_r}(\dot{\mathbf{w}}_r) \longrightarrow \mathbf{G}/\mathbf{U}$$

(consistant à chaque étape à oublier le dernier terme de \mathbf{g} et $\boldsymbol{\xi}$) qui sont des fibrations successives de fibres successivement isomorphes à des variétés de la forme $\mathcal{U}_{\alpha,d}$, donc lisses. La lissité de $\tilde{\mathcal{U}}_{\mathbf{d}}(\dot{\mathbf{w}})$ s'en déduit.

2.D. Construction de la variété $\overline{\mathbf{Y}}(\mathbf{w})$: deuxième étape. Si $1 \leq i \leq r$, il existe un unique $\lambda_i \in Y(\mathbf{T})$ et un unique $m_i \in \mathbb{Z}$ vérifiant les trois propriétés suivantes :

$$\begin{cases} \lambda_i - \mathbf{w} F(\lambda_i) = m_i \ s_1 \cdots s_{i-1}(\alpha_i^{\vee}), \\ m_i > 0, \\ Y(\mathbf{T})/\mathbb{Z}\lambda_i \ \text{est sans torsion.} \end{cases}$$

Ceci découle de l'injectivité de $\mathrm{Id}_{Y(\mathbf{T})} - \mathbf{w}F$ et du fait que $Y(\mathbf{T})/\mathbb{Z}\alpha_i^{\vee}$ est sans torsion.

Remarque 2.5 - Les m_i ne sont pas divisibles par p car l'égalité qui les définit implique que

(2.6)
$$m_i N_{F^d/\mathbf{w}F}(s_1 \cdots s_{i-1}(\alpha_i^{\vee})) = (q-1)\lambda_i,$$

donc

$$(2.7) m_i divise q - 1,$$

car $Y(\mathbf{T})/\mathbb{Z}\lambda_i$ est sans torsion. \square

Posons alors $\mathbf{m} = (m_1, \dots, m_r)$ et

$$\tilde{\mathbf{Y}}(\mathbf{w}) = \{(\mathbf{g}; \boldsymbol{\xi}) \in \tilde{\boldsymbol{\mathcal{U}}}_{\mathbf{m}}(\mathbf{w}) \mid \boldsymbol{v}_{\mathbf{w}}(\mathbf{g}) \in \boldsymbol{\mathcal{U}}_F\}.$$

En d'autres termes, $\tilde{\mathbf{Y}}(\mathbf{w})$ est formée des éléments $(g_1\mathbf{U}, \dots, g_{r+1}\mathbf{U}; \xi_1, \dots, \xi_r) \in (\mathbf{G}/\mathbf{U})^{r+1} \times \mathbf{A}^r$ tels que

(2.8)
$$\begin{cases} \forall i \in \{1, 2, \dots, r\}, \ g_i^{-1} g_{i+1} \in \mathbf{G}_{\alpha_i} \mathbf{U} \text{ et } \varphi_{\alpha_i}(g_i^{-1} g_{i+1}) = \xi_i^{m_i} ; \\ g_{r+1} \mathbf{U} = F(g_1) \mathbf{U}. \end{cases}$$

Rappelons le lemme suivant :

Lemme 2.9 (Deligne-Lusztig). Soient \mathbf{H} un sous-groupe fermé F-stable de \mathbf{G} , \mathbf{Z} une \mathbf{G} -variété lisse et $\theta: \mathbf{Z} \to \mathbf{G}/\mathbf{H} \times \mathbf{G}/\mathbf{H}$ un morphisme \mathbf{G} -équivariant. Alors le graphe de $F: \mathbf{G}/\mathbf{H} \to \mathbf{G}/\mathbf{H}$ est transverse à θ .

Démonstration. Ce lemme est montré dans [DeLu, Preuve du lemme 9.11] dans le cas où $\mathbf{H} = \mathbf{B}$ mais la preuve reste valable mot pour mot dans le cas général.

Le morphisme $\tilde{\mathcal{U}}_{\mathbf{m}}(\mathbf{w}) \to \mathbf{G}/\mathbf{U} \times \mathbf{G}/\mathbf{U}$, $(\mathbf{g}, \boldsymbol{\xi}) \mapsto \boldsymbol{v}_{\mathbf{w}}(\mathbf{g})$ est **G**-équivariant et la variété $\tilde{\mathcal{U}}_{\mathbf{m}}(\mathbf{w})$ est lisse d'après la proposition 2.4. On déduit donc du lemme 2.9 que

(2.10)
$$\tilde{\mathbf{Y}}(\mathbf{w})$$
 est lisse, purement de dimension $2r$.

Notons

$$\begin{array}{cccc} \tilde{\pi}_{\mathbf{w}} : & \tilde{\mathbf{Y}}(\mathbf{w}) & \longrightarrow & \overline{\mathbf{X}}(\mathbf{w}) \\ & (\mathbf{g}, \boldsymbol{\xi}) & \longmapsto & \tilde{\pi}_{\mathbf{w}}(\mathbf{g}). \end{array}$$

Nous allons maintenant construire une action à droite de $\mathbf{T}^{\mathbf{w}F} \times (\mathbf{G}_m)^r$ sur $\tilde{\mathbf{Y}}(\mathbf{w})$. Tout d'abord posons, pour tout $\mathbf{z} = (z_1, \dots, z_r) \in (\mathbf{G}_m)^r$,

$$\begin{cases} \gamma_1(\mathbf{z}) = \lambda_1(z_1) \cdots \lambda_r(z_r) \\ \gamma_{i+1}(\mathbf{z}) = {}^{s_i}\gamma_i(\mathbf{z})\alpha_i^{\vee}(z_i^{m_i}), \text{ pour } i \in \{1, 2, \dots, r\}. \end{cases}$$

Alors

(2.11)
$$F(\gamma_1(\mathbf{z})) = \gamma_{r+1}(\mathbf{z}).$$

Démonstration. En effet,

$$\gamma_{r+1}(\mathbf{z}) = {}^{\mathbf{w}^{-1}}\gamma_1(\mathbf{z}) {}^{s_r \cdots s_2}\alpha_1^{\vee}(z_1^{m_1}) {}^{s_r \cdots s_3}\alpha_2^{\vee}(z_2^{m_2}) \cdots \alpha_r^{\vee}(z_r^{m_r})$$

et donc

$$\mathbf{w}^{F} \gamma_{1}(\mathbf{z})^{-1} \mathbf{w} \gamma_{r+1}(\mathbf{z}) = (\lambda_{1}(z_{1}) \cdots \lambda_{r}(z_{r})) \mathbf{w}^{F} (\lambda_{1}(z_{1}) \cdots \lambda_{r}(z_{r}))^{-1} \times \alpha_{1}^{\vee}(z_{1}^{-m_{1}}) {}^{s_{1}} \alpha_{2}^{\vee}(z_{2}^{-m_{2}}) \cdots {}^{s_{1} \cdots s_{r-1}} \alpha_{r}^{\vee}(z_{r}^{-m_{r}}) = 1,$$

la dernière égalité découlant de la définition des λ_i .

Si $\mathbf{z} = (z_1, \dots, z_r) \in (\mathbf{G}_m)^r$, si $t \in \mathbf{T}^{\mathbf{w}F}$ et si $(g_1\mathbf{U}, \dots, g_r\mathbf{U}, F(g_1)\mathbf{U}; \xi_1, \dots, \xi_r) \in \tilde{\mathbf{Y}}(\mathbf{w})$, on pose

$$(g_1\mathbf{U}, \dots, g_r\mathbf{U}, F(g_1)\mathbf{U}; \xi_1, \dots, \xi_r) * \mathbf{z} = (g_1\gamma_1(\mathbf{z})\mathbf{U}, \dots, g_r\gamma_r(\mathbf{z})\mathbf{U}, F(g_1)\gamma_{r+1}(\mathbf{z})\mathbf{U}; z_1\xi_1, \dots, z_r\xi_r)$$

et

$$(g_1\mathbf{U},\ldots,g_r\mathbf{U},F(g_1)\mathbf{U};\xi_1,\ldots,\xi_r)*t = (g_1t\mathbf{U},g_2^{s_1}t\mathbf{U},\ldots,g_r^{s_{r-1}\cdots s_1}t\mathbf{U},F(g_1)^{s_r\cdots s_1}t\mathbf{U};\xi_1,\ldots,\xi_r).$$

Proposition 2.12. Les formules ci-dessus définissent une action de $\mathbf{T}^{\mathbf{w}F} \times (\mathbf{G}_m)^r$ sur la variété $\tilde{\mathbf{Y}}(\mathbf{w})$. De plus, le morphisme $\tilde{\pi}_{\mathbf{w}} : \tilde{\mathbf{Y}}(\mathbf{w}) \to \overline{\mathbf{X}}(\mathbf{w})$ induit un isomorphisme $\tilde{\mathbf{Y}}(\mathbf{w})/(\mathbf{T}^{\mathbf{w}F} \times (\mathbf{G}_m)^r) \xrightarrow{\sim} \overline{\mathbf{X}}(\mathbf{w})$.

Démonstration. Montrons que l'on a bien défini une action. Soient $(\mathbf{g}; \boldsymbol{\xi}) \in \tilde{\mathbf{Y}}(\mathbf{w})$, $t \in \mathbf{T}^{\mathbf{w}F}$ et $\mathbf{z} \in (\mathbf{G}_m)^r$. Il suffit de montrer que $(\mathbf{g}; \boldsymbol{\xi}) * t$ et $(\mathbf{g}; \boldsymbol{\xi}) * \mathbf{z}$ appartiennent à $\tilde{\mathbf{Y}}(\mathbf{w})$ (les axiomes des actions de groupes sont clairement vérifiés). Écrivons

$$\mathbf{g} = (g_1 \mathbf{U}, \dots, g_{r+1} \mathbf{U}), \quad \boldsymbol{\xi} = (\xi_1, \dots, \xi_r) \quad \text{et} \quad \mathbf{z} = (z_1, \dots, z_r).$$

Commençons par montrer que $(\mathbf{g}; \boldsymbol{\xi}) * t \in \tilde{\mathbf{Y}}(\mathbf{w})$. Posons pour simplifier $t_i = s_{i-1} \cdots s_1 t$. On a alors

$$(g_i t_i)^{-1} (g_{i+1} t_{i+1}) = t_i^{-1} (g_i^{-1} g_{i+1})^{s_i} t_i$$

et donc, d'après la proposition 2.3 (c), on a $(g_i t_i)^{-1}(g_{i+1} t_{i+1}) \in \mathbf{G}_{\alpha_i} \mathbf{U}$ et

$$\varphi_{\alpha_i}((g_it_i)^{-1}(g_{i+1}t_{i+1})) = \varphi_{\alpha_i}(g_i^{-1}g_{i+1}) = \xi_i^{m_i}.$$

D'autre part, puisque $t \in \mathbf{T}^{\mathbf{w}F}$, on a $F(g_1t_1)\mathbf{U} = g_{r+1} \ ^F t\mathbf{U} = g_{r+1} \ ^{\mathbf{w}^{-1}} t\mathbf{U} = g_{r+1}t_{r+1}\mathbf{U}$. Donc $(\mathbf{g}; \boldsymbol{\xi}) * t \in \tilde{\mathbf{Y}}(\mathbf{w})$.

Montrons maintenant que $(\mathbf{g}; \boldsymbol{\xi}) * \mathbf{z} \in \mathbf{Y}(\mathbf{w})$. D'une part, on a

$$(g_i \gamma_i(\mathbf{z}))^{-1} (g_{i+1} \gamma_{i+1}(\mathbf{z})) = \gamma_i(\mathbf{z})^{-1} (g_i^{-1} g_{i+1})^{s_i} \gamma_i(\mathbf{z}) \alpha_i^{\vee} (z_i^{m_i}),$$

donc $(g_i\gamma_i(\mathbf{z}))^{-1}(g_{i+1}\gamma_{i+1}(\mathbf{z})) \in \mathbf{G}_{\alpha_i}\mathbf{U}$ et son image par φ_{α_i} est $z_i^{m_i}\varphi_{\alpha_i}(g_i^{-1}g_{i+1}) = (z_i\xi_i)^{m_i}$ (voir la proposition 2.3 (b) et (c)). D'autre part, d'après 2.11, on obtient $g_{r+1}\gamma_{r+1}(\mathbf{z})\mathbf{U} = F(g_1\gamma_1(\mathbf{z}))\mathbf{U}$. Donc $(\mathbf{g};\boldsymbol{\xi}) * \mathbf{z} \in \tilde{\mathbf{Y}}(\mathbf{w})$.

Il nous reste à montrer la dernière assertion de la proposition. Tout d'abord, il est clair que les $(\mathbf{T}^{\mathbf{w}F} \times (\mathbf{G}_m)^r)$ -orbites sont contenues dans les fibres de $\tilde{\pi}_{\mathbf{w}}$. Réciproquement, montrons que les fibres de $\tilde{\pi}_{\mathbf{w}}$ sont des orbites. Soient donc $(\mathbf{g}; \boldsymbol{\xi})$ et $(\mathbf{g}'; \boldsymbol{\xi}')$ deux éléments de $\tilde{\mathbf{Y}}(\mathbf{w})$ tels que $\tilde{\pi}_{\mathbf{w}}(\mathbf{g}; \boldsymbol{\xi}) = \tilde{\pi}_{\mathbf{w}}(\mathbf{g}'; \boldsymbol{\xi}')$. Écrivons

$$\mathbf{g} = (g_1 \mathbf{U}, \dots, g_{r+1} \mathbf{U}), \quad \boldsymbol{\xi} = (\xi_1, \dots, \xi_r),$$

$$\mathbf{g}' = (g_1'\mathbf{U}, \dots, g_{r+1}'\mathbf{U})$$
 et $\boldsymbol{\xi}' = (\xi_1', \dots, \xi_r')$.

Par hypothèse, il existe $t_i \in \mathbf{T}$ tels que $g_i'\mathbf{U} = g_i t_i \mathbf{U}$. Mais, puisque $g_i'^{-1} g_{i+1}'$ et $g_i^{-1} g_{i+1}$ appartiennent à $\mathbf{G}_{\alpha_i} \mathbf{U}$, cela montre que $t_i^{-1} t_{i+1}$ appartient à $\mathbf{T}_{\alpha_i^\vee}$, ou encore que ${}^{s_i} t_i^{-1} t_{i+1}$ appartient à $\mathbf{T}_{\alpha_i^\vee}$. Soit donc $z_i \in \mathbf{G}_m$ tel que $t_{i+1} = {}^{s_i} t_i \alpha_i^\vee(z_i^{m_i})$. Posons $\mathbf{z} = (z_1, \ldots, z_r)$. Alors, quitte à remplacer $(\mathbf{g}; \boldsymbol{\xi})$ par $(\mathbf{g}; \boldsymbol{\xi}) * \mathbf{z}$, et quitte à multiplier z_i par une racine m_i -ième de l'unité, on peut supposer que $\boldsymbol{\xi} = \boldsymbol{\xi}'$ et $t_{i+1} = {}^{s_i} t_i$. Mais alors, le fait que $g_{r+1} \mathbf{U} = F(g_1) \mathbf{U}$ et $g_{r+1}' \mathbf{U} = F(g_1') \mathbf{U}$ impose que $t_{r+1} = F(t_1)$, et donc que $t \in \mathbf{T}^{\mathbf{w}F}$. Par conséquent, $(\mathbf{g}'; \boldsymbol{\xi}') = (\mathbf{g}; \boldsymbol{\xi}) * t$.

Les variétés $\tilde{\mathbf{Y}}(\mathbf{w})$ et $\overline{\mathbf{X}}(\mathbf{w})$ étant lisses et les fibres de $\tilde{\pi}_{\mathbf{w}}$ étant des $(\mathbf{T}^{\mathbf{w}F} \times (\mathbf{G}_m)^r)$ orbites, il suffit maintenant de montrer que $\tilde{\pi}_{\mathbf{w}}$ est séparable [Bor, proposition 6.6].
Pour cela, notons $\Pi(\boldsymbol{\xi}) = \xi_1 \cdots \xi_r$ si $(\xi_1, \dots, \xi_r) \in \mathbf{A}^r$ et posons

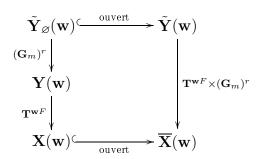
$$\tilde{\mathbf{Y}}_{\varnothing}(\mathbf{w}) = \{ (\mathbf{g}; \boldsymbol{\xi}) \in \tilde{\mathbf{Y}}(\mathbf{w}) \mid \Pi(\boldsymbol{\xi}) \neq 0 \}.$$

Notons $\tilde{\iota}_{\mathbf{w}}: \mathbf{Y}(\mathbf{w}) \to \tilde{\mathbf{Y}}(\mathbf{w}), \ \mathbf{g} \mapsto (\mathbf{g}; 1, \dots, 1)$. Le fait que $\tilde{\iota}_{\mathbf{w}}(\mathbf{g}) \in \tilde{\mathbf{Y}}(\mathbf{w})$ découle de ce que $\varphi_{\alpha_i}(s_i) = 1$ d'après 2.2. Alors $\tilde{\mathbf{Y}}_o(\mathbf{w})$ est un ouvert de $\tilde{\mathbf{Y}}(\mathbf{w})$ contenant $\tilde{\iota}_{\mathbf{w}}(\mathbf{Y}(\mathbf{w}))$ et son image par $\tilde{\pi}_{\mathbf{w}}$ est $\mathbf{X}(\mathbf{w})$ (voir la proposition 2.3 (d)). Le morphisme $\mathbf{Y}(\mathbf{w}) \to \mathbf{X}(\mathbf{w})$ étant séparable, il suffit de remarquer que l'application

$$\begin{array}{cccc} \mathbf{Y}(\mathbf{w}) \times (\mathbf{G}_m)^r & \longrightarrow & \tilde{\mathbf{Y}}_\varnothing(\mathbf{w}) \\ (\mathbf{g}, \mathbf{z}) & \longmapsto & \tilde{\iota}_\mathbf{w}(\mathbf{g}) * \mathbf{z} \end{array}$$

est un isomorphisme de variétés : cela vient du fait que, si $\mathbf{g} \in (\mathbf{G}/\mathbf{U})^{r+1}$ vérifie $(\mathbf{g}; 1, \dots, 1) \in \tilde{\mathbf{Y}}(\mathbf{w})$, alors $\mathbf{g} \in \mathbf{Y}(\mathbf{w})$ d'après la proposition 2.3 (e).

On a donc un diagramme commutatif, où les flèches verticales sont des morphismes quotients par les actions des groupes indiqués:



Si I est une partie de $\{1, 2, \ldots, r\}$, on pose

$$\tilde{\mathbf{Y}}_I(\mathbf{w}) = \{ (\mathbf{g}; \xi_1, \dots, \xi_r) \in \tilde{\mathbf{Y}}(\mathbf{w}) \mid \forall i \in \{1, 2, \dots, r\}, i \in I \iff \xi_i = 0 \}$$

et

$$H_I = \{ \mathbf{z} = (z_1, \dots, z_r) \in (\mathbf{G}_m)^r \mid \gamma_1(\mathbf{z}) = \dots = \gamma_{r+1}(\mathbf{z}) = 1 \text{ et } \forall i \notin I, \ z_i = 1 \}.$$

Alors $\tilde{\mathbf{Y}}_I(\mathbf{w})$ est une sous-variété localement fermée de $\tilde{\mathbf{Y}}(\mathbf{w})$, stable par l'action de $\mathbf{T}^{\mathbf{w}F} \times (\mathbf{G}_m)^r$, et

(2.13) le stabilisateur d'un élément de $\tilde{\mathbf{Y}}_I(\mathbf{w})$ dans $(\mathbf{G}_m)^r$ est égal à H_I .

D'autre part, il résulte facilement de la proposition 2.3 (d) que, si $\mathbf{x} \leq \mathbf{w}$, alors

(2.14)
$$\tilde{\pi}_{\mathbf{w}}^{-1}(\mathbf{X}(\mathbf{x})) = \tilde{\mathbf{Y}}_{I_{\mathbf{x}}}(\mathbf{w}).$$

En particulier, on a une partition en sous-variétés localement fermées

$$ilde{\mathbf{Y}}(\mathbf{w}) = \coprod_{I \subset \{1,2,...,r\}} ilde{\mathbf{Y}}_I(\mathbf{w}).$$

Proposition 2.16. Soit I une partie de $\{1, 2, ..., r\}$. Alors:

- (a) H_I est un groupe fini, contenu dans $H_{\{1,2,\ldots,r\}}$.
- (b) $Si |I| \leq 1$, alors $H_I = 1$.

Démonstration. (a) Il est tout d'abord évident que H_I est contenu dans $H_{\{1,2,\ldots,r\}}$. Il suffit donc de montrer que ce dernier est fini. Or, si $\mathbf{z} = (z_1,\ldots,z_r) \in H_{\{1,2,\ldots,r\}}$, alors puisque $\gamma_i(\mathbf{z}) = \gamma_{i+1}(\mathbf{z}) = 1$, il résulte de la définition des γ_i que $\alpha_i^{\vee}(z_i^{m_i}) = 1$. Puisque α_i^{\vee} est injectif (car $\mathbf{G}_{\alpha_i} \simeq \mathbf{SL}_2$), on en déduit que z_i est une racine m_i -ième de l'unité. D'où le résultat.

(b) Si $I = \emptyset$, alors $H_I = 1$ par définition. Si $I = \{i\}$ et si $\mathbf{z} = (z_1, \dots, z_r) \in H_I$, alors $z_1 = \dots = z_{i-1} = z_{i+1} = \dots = z_r = 1$. Mais de plus $\gamma_1(\mathbf{z}) = 1$, ce qui implique que $\lambda_i(z_i) = 1$. Donc $z_i = 1$ car, puisque $Y(\mathbf{T})/\mathbb{Z}\lambda_i$ est sans torsion, le morphisme $\lambda_i : \mathbf{G}_m \to \mathbf{T}$ est injectif.

Posons maintenant

$$\overline{\mathbf{Y}}(\mathbf{w}) = \tilde{\mathbf{Y}}(\mathbf{w})/(\mathbf{G}_m)^r,$$

notons $\operatorname{proj}_{\mathbf{w}}: \tilde{\mathbf{Y}}(\mathbf{w}) \to \overline{\mathbf{Y}}(\mathbf{w})$ la projection canonique et notons $\overline{\pi}_{\mathbf{w}}: \overline{\mathbf{Y}}(\mathbf{w}) \to \overline{\mathbf{X}}(\mathbf{w})$ le morphisme de variétés induit par $\tilde{\pi}_{\mathbf{w}}$. Si $I \subset \{1, 2, \dots, r\}$, on note $\boldsymbol{\xi}_I$ la fonction caractéristique du complémentaire de I, que l'on voit comme un élément de \mathbf{A}^r . On pose aussi $\overline{\mathbf{Y}}_I(\mathbf{w}) = \tilde{\mathbf{Y}}_I(\mathbf{w})/(\mathbf{G}_m)^r \subset \overline{\mathbf{Y}}(\mathbf{w})$. On a bien sûr

$$\overline{\mathbf{Y}}(\mathbf{w}) = \coprod_{I \subset \{1,2,...,r\}} \overline{\mathbf{Y}}_I(\mathbf{w}).$$

Soit $\mathbf{x} \preceq \mathbf{w}$. Comme dans la preuve de la proposition 2.12, on montre qu'on a un morphisme bien défini

$$\mathbf{Y}(\mathbf{x}) \times (\mathbf{G}_m)^r / H_{I_{\mathbf{x}}} \to \tilde{\mathbf{Y}}_{I_{\mathbf{x}}}(\mathbf{w})$$

 $(g, z) \mapsto (g, \boldsymbol{\xi}_{I_{\mathbf{x}}}) * z$

et que c'est un isomorphisme. En particulier, $\tilde{\mathbf{Y}}_{I_{\mathbf{x}}}(\mathbf{w})$ est lisse.

On définit alors

$$\begin{array}{ccc} i_{\mathbf{x}}: & \mathbf{Y}(\mathbf{x}) & \longrightarrow & \overline{\mathbf{Y}}_{I_{\mathbf{x}}}(\mathbf{w}) \\ & \mathbf{g} & \longmapsto & \mathrm{proj}_{\mathbf{w}}(\mathbf{g}, \boldsymbol{\xi}_{I_{\mathbf{x}}}). \end{array}$$

Il est clair que

(2.17)
$$\overline{\pi}_{\mathbf{w}}^{-1}(\mathbf{X}(\mathbf{x})) = \overline{\mathbf{Y}}_{I_{\mathbf{x}}}(\mathbf{w}).$$

Le morphisme canonique $\tilde{\mathbf{Y}}_{I_{\mathbf{x}}}(\mathbf{w}) \to \overline{\mathbf{Y}}_{I_{\mathbf{x}}}(\mathbf{w})$ est le quotient par l'action libre de $(\mathbf{G}_m)^r/H_{I_{\mathbf{x}}}$ et $\tilde{\mathbf{Y}}_{I_{\mathbf{x}}}(\mathbf{w})$ est lisse, donc $\overline{\mathbf{Y}}_{I_{\mathbf{x}}}(\mathbf{w})$ est lisse.

Nous allons montrer que $\overline{\mathbf{Y}}(\mathbf{w})$ est la normalisation de $\overline{\mathbf{X}}(\mathbf{w})$ dans $\mathbf{Y}(\mathbf{w})$ et que les énoncés (a), (b), (c) et (d) du théorème 1.5 sont vérifiés.

2.E. Fin de la démonstration. Dans la preuve de la proposition 2.12, il a été remarqué que l'application

$$\begin{array}{ccc} \mathbf{Y}(\mathbf{w}) \times (\mathbf{G}_m)^r & \longrightarrow & \tilde{\mathbf{Y}}_\varnothing(\mathbf{w}) \\ (\mathbf{g}, \mathbf{z}) & \longmapsto & \tilde{\iota}_\mathbf{w}(\mathbf{g}) * \mathbf{z} \end{array}$$

est un isomorphisme de variétés. Cela montre que $i_{\mathbf{w}}: \mathbf{Y}(\mathbf{w}) \to \overline{\mathbf{Y}}(\mathbf{w})$ est une immersion ouverte, d'image $\overline{\mathbf{Y}}_{\varnothing}(\mathbf{w}) = \overline{\pi}_{\mathbf{w}}^{-1}(\mathbf{X}(\mathbf{w}))$. On a donc un diagramme commutatif

$$\begin{array}{c|c} \mathbf{Y}(w) & i_{\mathbf{w}} & \overline{\mathbf{Y}}(w) \\ \hline \pi_{\mathbf{w}} & & \overline{\pi}_{\mathbf{w}} \\ \mathbf{X}(w) & & \overline{\mathbf{X}}(w). \end{array}$$

D'autre part, par construction, $i_{\mathbf{w}}$ est $\mathbf{T}^{\mathbf{w}F}$ -équivariant et il résulte de la proposition 2.12 que $\overline{\pi}_{\mathbf{w}}$ induit un isomorphisme de variétés

$$(2.18) \overline{Y}(\mathbf{w})/\mathbf{T}^{\mathbf{w}F} \stackrel{\sim}{\longrightarrow} \overline{X}(\mathbf{w}).$$

D'autre part, posons $H = H_{\{1,2,\ldots,r\}}$. Alors $\tilde{\mathbf{Y}}(\mathbf{w})/H$ est une variété normale et rationnellement lisse (car $\tilde{\mathbf{Y}}(\mathbf{w})$ est lisse et H est fini) et le groupe $(\mathbf{G}_m)^r/H$ agit librement sur $\tilde{\mathbf{Y}}(\mathbf{w})/H$. Donc

- (2.19) $\overline{\mathbf{Y}}(\mathbf{w})$ est une variété normale et rationnellement lisse et
- (2.20) le morphisme $\overline{\pi}_{\mathbf{w}}$ est un morphisme fini.

Par conséquent, $\mathbf{Y}(\mathbf{w})$ est bien la normalisation de $\overline{\mathbf{X}}(\mathbf{w})$ dans $\mathbf{Y}(\mathbf{w})$.

Preuve du (a). Puisque $\overline{\pi}_{\mathbf{w}}$ est un morphisme fini (voir 2.20), c'est un morphisme projectif. La variété $\overline{\mathbf{X}}(\mathbf{w})$ étant projective, $\overline{\mathbf{Y}}(\mathbf{w})$ est aussi projective.

Le morphisme canonique $\tilde{\mathbf{Y}}(\mathbf{w})/H_{\{1,\dots,r\}} \to \overline{\mathbf{Y}}(\mathbf{w})$ est lisse et la description du lieu singulier de $\overline{\mathbf{Y}}(\mathbf{w})$ se ramène donc au cas de la variété $\tilde{\mathbf{Y}}(\mathbf{w})/H_{\{1,\dots,r\}}$. Puisque $H_{\{1,\dots,r\}}$ agit librement sur $\coprod_{|I| \leq 1} \tilde{\mathbf{Y}}_I(\mathbf{w})$ (d'après la proposition 2.16 (b)), on obtient la dernière assertion de (a).

REMARQUE - Le lieu de ramification du morphisme quotient $\tilde{\mathbf{Y}}(\mathbf{w}) \to \tilde{\mathbf{Y}}(\mathbf{w})/H_{\{1,\dots,r\}}$ est de codimension > 1. La variété $\tilde{\mathbf{Y}}(\mathbf{w})$ est lisse, donc le théorème de pureté du lieu de ramification [SGA1, X, Théorème 3.1] montre que le lieu singulier de $\tilde{\mathbf{Y}}(\mathbf{w})/H_{\{1,\dots,r\}}$ est l'image de $\coprod_{|H_I|>1} \tilde{\mathbf{Y}}_I(\mathbf{w})$.

Il existe des exemples où la variété normale $\overline{\mathbf{Y}}(\mathbf{w})$ n'est pas lisse : si $\mathbf{G} = \mathbf{GL}_3$, si F est l'endomorphisme de Frobenius déployé standard sur le corps fini \mathbb{F}_{q_0} , et si s et t sont les deux réflexions simples, alors la variété $\overline{\mathbf{Y}}(s,t)$ n'est pas lisse car le groupe fini $H_{1,2}$ est cyclique d'ordre $1 + q_0 + q_0^2$. \square

Preuve du (b). Cela a été démontré dans 2.18.

Preuve du (c). Soit $t \in \mathbf{T}^{\mathbf{w}F}$ et soit $\mathbf{x} \leq \mathbf{w}$. Alors t stabilise un élément de $\overline{\pi}_{\mathbf{w}}^{-1}(\mathbf{X}(\mathbf{x}))$ si et seulement si il existe $\mathbf{z} = (z_1, \dots, z_r) \in (\mathbf{G}_m)^r$ tel que, pour tout $i \in \{1, 2, \dots, r\}$, on ait

$$\gamma_i(\mathbf{z}) = {}^{s_{i-1}\cdots s_1}t$$
 pour tout i et $z_i = 1$ pour $i \notin I_{\mathbf{x}}$.

Si tel est le cas, on a $z_i^{m_i} = 1$ pour tout i et $t = \lambda_1(z_1) \cdots \lambda_r(z_r)$. D'après 2.7, il existe donc $e_i \in \mathbb{Z}$ tel que $z_i = (\zeta^{(q-1)/m_i})^{e_i}$, donc

$$t = N_{\mathbf{w}} \left(\sum_{i \in I_{\mathbf{x}}} e_i \ s_1 \cdots s_{i-1}(\alpha_i^{\vee}) \right)$$

d'après 2.6. Donc $t \in N_{\mathbf{w}}(Y_{\mathbf{w},\mathbf{x}})$. La réciproque se montre de façon analogue.

Preuve du (d). Soit $\mathbf{x} \leq \mathbf{w}$. On a construit un morphisme canonique $i_{\mathbf{x}}: \mathbf{Y}(\mathbf{x}) \to \overline{\pi}_{\mathbf{w}}^{-1}(\mathbf{X}(\mathbf{x}))$. Tout d'abord, la surjectivité de $i_{\mathbf{x}}$ résulte du fait suivant : si $(\mathbf{g}; \boldsymbol{\xi}) \in \mathbf{Y}(\mathbf{w})$ et si $\mathbf{x} \leq \mathbf{w}$, alors $\boldsymbol{\xi} = \boldsymbol{\xi}_{I_{\mathbf{x}}}$ si et seulement si $\mathbf{g} \in \mathbf{Y}(\mathbf{x})$ (voir la proposition 2.3 (e)). De plus, puisque $\overline{\pi}_{\mathbf{w}}^{\mathbf{x}} \circ i_{\mathbf{x}} = \pi_{\mathbf{x}}$ (où $\overline{\pi}_{\mathbf{w}}^{\mathbf{x}}$ désigne la restriction de $\overline{\pi}_{\mathbf{w}}$ à $\overline{\pi}_{\mathbf{w}}^{-1}(\mathbf{X}(\mathbf{x})) \to \mathbf{X}(\mathbf{x})$), le morphisme $i_{\mathbf{x}}$ est séparable. Les variétés $\mathbf{Y}(\mathbf{x})$ et $\overline{\pi}_{\mathbf{w}}^{-1}(\mathbf{X}(\mathbf{x}))$ étant lisses, il suffit de montrer que les fibres de $i_{\mathbf{x}}$ sont les $N_{\mathbf{x}}(Y_{\mathbf{w},\mathbf{x}})$ -orbites.

Écrivons $\mathbf{x} = (x_1, \dots, x_r)$, où $x_i \in \{1, s_i\}$ pour tout i. Comme $\overline{\pi}_{\mathbf{w}}^{\mathbf{x}} \circ i_{\mathbf{x}} = \pi_{\mathbf{x}}$, les fibres de $(\overline{\pi}_{\mathbf{w}}^{\mathbf{x}})^{-1}$ sont contenues dans des $\mathbf{T}^{\mathbf{x}F}$ -orbites. Soit $t \in \mathbf{T}^{\mathbf{x}F}$ et soit $\mathbf{g} \in \mathbf{Y}(\mathbf{x})$. Alors $i_{\mathbf{x}}(\mathbf{g} \cdot t) = i_{\mathbf{x}}(\mathbf{g})$ si et seulement si il existe $\mathbf{z} = (z_1, \dots, z_r)$ dans $(\mathbf{G}_m)^r$ tel que

(*)
$$\begin{cases} \forall \ 1 \leqslant i \leqslant r+1, \ ^{x_{i-1}\cdots x_1}t = \gamma_i(\mathbf{z}), \\ \forall \ i \not\in I_{\mathbf{x}}, \ z_i = 1. \end{cases}$$

Posons, comme dans [BoRo, §4.4.3],

$$\mathbf{S}_{\mathbf{w},\mathbf{x}} = \{ (a_1, \dots, a_{r+1}) \in \mathbf{T}^{r+1} \mid a_{r+1} = F(a_1), \\ \forall i \notin I_{\mathbf{x}}, \ a_{i+1} = {}^{x_i}a_i \ \text{et} \ \forall \ i \in I_{\mathbf{x}}, \ a_i^{-1} \ a_{i+1} \in \mathbf{T}_{\alpha_i^{\vee}} \}.$$

Alors

$$\mathbf{S}_{\mathbf{w},\mathbf{x}} = \{ (a_1, \dots, a_{r+1}) \in \mathbf{T}^{r+1} \mid a_{r+1} = F(a_1), \\ \forall i \notin I_{\mathbf{x}}, \ a_{i+1} = {}^{x_i}a_i \ \text{et} \ \forall \ i \in I_{\mathbf{x}}, \ {}^{x_i}a_i^{-1} \ a_{i+1} \in \mathbf{T}_{\alpha_i^{\vee}} \}$$

et donc l'application

$$\mu_{\mathbf{x}}: \mathbf{T}^{\mathbf{x}F} \longrightarrow \mathbf{S}_{\mathbf{w},\mathbf{x}}$$

$$t \longmapsto (t, x_1, \dots, x_{r-1} \cdots x_1, x_r \cdots x_1,$$

est bien définie (et est un morphisme de groupes injectif). D'autre part, si $\mathbf{R}_{\mathbf{x}}$ est l'ensemble des $(z_1, \ldots, z_r) \in (\mathbf{G}_m)^r$ tels que $z_i = 1$ si $i \notin I_{\mathbf{x}}$, alors l'application

$$\begin{array}{cccc} \boldsymbol{\gamma}_{\mathbf{x}}: & \mathbf{R}_{\mathbf{x}} & \longrightarrow & \mathbf{S}_{\mathbf{w},\mathbf{x}} \\ & \mathbf{z} & \longmapsto & (\gamma_1(\mathbf{z}), \dots, \gamma_{r+1}(\mathbf{z})) \end{array}$$

est un morphisme de groupes qui est bien défini et dont il est facile de vérifier que le noyau est fini (c'est H_{I_x}). Donc son image est de dimension $|I_x|$, ce qui est aussi la dimension de $S_{w,x}$ (voir [BoRo, page 17]). Donc

$$\mathbf{S}_{\mathbf{w},\mathbf{x}}^{\circ} = \operatorname{Im}(\boldsymbol{\gamma}_{\mathbf{x}}).$$

Mais la condition (*) est équivalente à dire que $\mu_{\mathbf{x}}(t) \in \text{Im}(\gamma_{\mathbf{x}})$. Le résultat découle alors de [BoRo, proposition 4.11 (4)]. La preuve du théorème 1.5 est complète.

Références

- [Bor] A. Borel, Linear algebraic groups, Graduate Texts in Mathematics 126, Second edition, Springer-Verlag, 1991.
- [BoRo] C. Bonnafé & R. Rouquier, Catégories dérivées et variétés de Deligne-Lusztig, Publ. Math. I.H.E.S. 97 (2003), 1-59.
- [DeLu] P. Deligne et G. Lusztig, Representations of reductive groups over finite fields, Ann. of Math. 103 (1976), 103-161.
- [DiMiRo] F. Digne, J. Michel et R. Rouquier, Cohomologie de certaines variétés de Deligne-Lusztig, Adv. Math. 209 (2007), 749–822.

[SGA1] A. GROTHENDIECK *et al.*, "SGA1 Revêtements étales et groupe fondamental", Springer Lecture Notes in Math. **224**, 1971.

CÉDRIC BONNAFÉ : LABO. DE MATH. DE BESANÇON (CNRS: UMR 6623), UNIVERSITÉ DE FRANCHE-COMTÉ, 16 ROUTE DE GRAY, 25030 BESANÇON CEDEX, FRANCE

 $Courriel: \verb|cedric.bonnafe@univ-fcomte.fr|\\$

Raphaël ROUQUIER : Mathematical Institute, University of Oxford, 24-29 St Giles', Oxford, OX1 3LB, UK

 $Courriel: {\tt rouquier@maths.ox.ac.uk}$